

## 双核银配合物 $[Ag_2(\mu-(4-MeC_6H_4O)_2PS_2)_2(Phen)_2]$ 的光谱性质和晶体结构

谢 斌<sup>\*1,2</sup> 相阳光<sup>3</sup> 赖 川<sup>3</sup> 王 军<sup>1,2</sup> 邹立科<sup>1,2</sup> 黄 春<sup>3</sup> 冯建申<sup>1,2</sup>

(<sup>1</sup> 四川理工学院功能材料研究所, 自贡 643000)

(<sup>2</sup> 绿色催化四川省高校重点实验室, 自贡 643000)

(<sup>3</sup> 四川理工学院材料与化学工程学院, 自贡 643000)

**摘要:** 合成了双核银配合物 $[Ag_2(\mu-(4-MeC_6H_4O)_2PS_2)_2(Phen)_2]$ (phen 为 1,10-邻菲咯啉), 用元素分析、红外光谱、紫外-可见光谱和热重分析进行了表征, 并用 X-射线衍射法测定了晶体结构。该晶体属于正交晶系,  $Pbca$  空间群, 晶胞参数为:  $a=1.203\ 5(2)$  nm,  $b=1.638\ 3(3)$  nm,  $c=2.517\ 1(5)$  nm,  $V=4.963\ 1(17)$  nm<sup>3</sup>,  $D_c=1.599$  g·m<sup>-3</sup>,  $Z=4$ ,  $F(000)=2\ 416$ ,  $\mu(Mo\ K\alpha)=1.072$  mm<sup>-1</sup>,  $S=1.066$ ,  $(\Delta/\sigma)_{max}=0.001$ ,  $R_1=0.037\ 6$ ,  $wR_2=0.088\ 8(I>2\sigma(I))$ 。晶体结构研究表明每个 Ag 原子与不同配体 $(4-MeC_6H_4O)_2PS_2$ 的 2 个 S 原子和 1 个 phen 配体的 2 个 N 原子配位形成了具有椅式构型的八元环  $Ag_2S_4P_2$ , Ag 原子为畸变四面体  $AgS_2N_2$  构型, 配合物通过 phen 的  $\pi-\pi$  堆积形成了一维结构, 分子间的弱氢键 C-H $\cdots$ O 和 C-H $\cdots\pi$  作用使分子进一步形成了三维网络结构。

**关键词:**  $O, O'$ -二烷基二硫代磷酸盐; 银配合物; 光谱; 晶体结构

中图分类号: O614.122 文献标识码: A 文章编号: 1001-4861(2011)05-0886-05

## Spectroscopic Properties and Crystal Structure of Binuclear Silver Complex $[Ag_2(\mu-(4-MeC_6H_4O)_2PS_2)_2(Phen)_2]$

XIE Bin<sup>\*1,2</sup> XIANG Yang-Guang<sup>3</sup> LAI Chuan<sup>3</sup> WANG Jun<sup>1,2</sup>

ZOU Li-Ke<sup>1,2</sup> HUANG Chun<sup>3</sup> FENG Jian-Shen<sup>1,2</sup>

(<sup>1</sup>Institute of Functional Materials, Sichuan University of Science & Engineering, Zigong, Sichuan 643000, China)

(<sup>2</sup>University Key Laboratory of Green Chemistry of Sichuan Institutes of Higher Education, Zigong, Sichuan 643000, China)

(<sup>3</sup>College of Materials and Chemical Engineering, Sichuan University of Science & Engineering, Zigong, Sichuan 643000, China)

**Abstract:** A new binuclear silver complex  $[Ag_2(\mu-(4-MeC_6H_4O)_2PS_2)_2(Phen)_2]$  was synthesized, (phen=1,10-phenanthroline), and was characterized by elemental analysis, IR, UV-Vis, TG-DSC, and single crystal X-ray diffraction analysis. The complex crystallized in orthorhombic,  $Pbca$  space group with the cell parameters:  $a=1.203\ 5(2)$  nm,  $b=1.638\ 3(3)$  nm,  $c=2.517\ 1(5)$  nm,  $V=4.963\ 1(17)$  nm<sup>3</sup>,  $D_c=1.599$  g·m<sup>-3</sup>,  $Z=4$ ,  $F(000)=2\ 416$ ,  $\mu(Mo\ K\alpha)=1.072$  mm<sup>-1</sup>,  $S=1.066$ ,  $(\Delta/\sigma)_{max}=0.001$ ,  $R_1=0.037\ 6$ ,  $wR_2=0.088\ 8(I>2\sigma(I))$ . The crystal structure study shows that each Ag atom is in a  $AgS_2N_2$  distorted tetrahedral geometry by two S atoms from different  $(4-MeC_6H_4O)_2PS_2^-$  ligands and two N atoms from one phen ligand, respectively. The two  $(4-MeC_6H_4O)_2PS_2^-$  ligands each bridge two silver atoms to form an chair configuration of eight-membered  $Ag_2S_4P_2$  ring. And one-dimensional stack is formed via intermolecular  $\pi-\pi$  interactions between the phen ligands, which is further linked into three-dimensional networks by weak intermolecular C-H $\cdots$ O hydrogen bonds and C-H $\cdots\pi$  interactions. CCDC: 787201.

**Key words:**  $O, O'$ -dialkyldithiophosphate; silver(I) complex; spectra; crystal structure

收稿日期: 2010-08-17。收修改稿日期: 2011-01-25。

四川省科技厅应用基础和科技支撑计划项目(No.2009JY0071, 2010GZ0130)、四川省教育厅重点项目(No.09ZA057)、和腐蚀与防护四川省高校重点实验室重点项目(No.2008CL03)和四川理工学院研究生创新基金(No.Y2009023)资助。

\*通讯联系人。E-mail: xiebinqh@sina.com.cn

## 0 引言

$O, O'$ -二羟基二硫代磷酸盐及其配合物因具有抗磨、抗氧化和抗腐蚀的性能<sup>[1-4]</sup>,常作为润滑油添加剂,也可作为高分子材料的稳定剂和人造橡胶的硫化促进剂<sup>[5,6]</sup>,另外它们在生物学上具有杀虫、抗菌、抗癌和抑制酶水解等特性<sup>[7-10]</sup>,因此其研究日益受到关注。尽管 $O, O'$ -二羟基二硫代磷酸配合物的性质研究已有不少文献报道,但对 $O, O'$ -二羟基二硫代磷酸银配合物的研究却相对较少。Matsumoto等人<sup>[11]</sup>合成的立方体簇合物 $Ag_8(\mu_6-S)\{S_2P(OEt)_2\}_6$ 的结构为立方体的角点被Ag原子所占据,Ag原子为四面体构型, $(EtO)_2PS_2^-$ 为桥配体, $(EtO)_2PS_2^-$ 的每个S原子桥连2个Ag原子。朱永宝等人<sup>[12]</sup>合成的簇合物 $Ag_{10}(\mu_8-S)\{S_2P(OEt)_2\}_8$ 为十核畸变单帽准棱柱结构,棱柱中心为八桥配位的硫原子。建芳芳等人<sup>[13]</sup>合成的含phen(1,10-邻菲咯啉)的双核银配合物 $[Ag\{S_2P(OPr-n)\}_2\cdot Phen]_2$ 中的每个 $(n-PrO)_2PS_2^-$ 桥联2个银原子形成了八元环 $Ag_2S_4P_2$ ,银原子为畸变四面体构型。然而还没有人对含 $O, O'$ -二芳基二硫代磷酸银配合物的合成、结构和光谱性质进行研究,本文利用“一锅煮”的办法,合成了含 $O, O'$ -二(4-甲基)二硫代磷酸根和1,10-邻菲咯啉的双核银配合物 $[Ag_2(\mu-(4-MeC_6H_4O)_2PS_2)_2(Phen)_2]$ ,并对其结构进行了表征。

## 1 实验部分

### 1.1 试剂与仪器

所有试剂均为分析纯。

DMF用无水 $MgSO_4$ 干燥3h后减压蒸馏,收集60~61℃/2 666.44 Pa的馏分。甲醇用Mg和 $I_2$ 处理,回流5h,蒸馏收集63~64℃的馏分。

北京泰克仪器有限公司X-4数显显微熔点测定仪,温度计未校正;意大利Carlo-Erba公司Carlo Erba 1106元素分析仪;美国Thermo Nicolet公司Nicolet 6700红外光谱仪(KBr压片);北京普析公司TU-1901紫外-可见分光光度计(甲醇为溶剂,浓度为0.1 mmol·L<sup>-1</sup>);德国Netzsch公司STA409PC热分析仪, $\alpha-Al_2O_3$ 作参比,氮气流速(30 mL·min<sup>-1</sup>),升温速率10℃·min<sup>-1</sup>;日本Rigaku公司Rigaku Saturn CCD X-射线单晶衍射仪。

### 1.2 (4-MeC<sub>6</sub>H<sub>4</sub>O)<sub>2</sub>PS<sub>2</sub>NH<sub>2</sub>Et<sub>2</sub>的合成

在三口烧瓶中加入 $P_2S_5$  (22.2 g, 0.1 mol) 和 70

mL 甲苯,搅拌加热至70℃,滴加对甲苯酚(43.2 g, 0.4 mol),控制温度不超过90℃,于30 min内滴加完,然后升温至110℃,反应75 min至固体消失。冷却至室温,加入活性炭回流10 min,热过滤,滤液冷却至室温,滴加二乙胺(22 mL, 0.2 mmol),减压过滤,依次用甲醇和乙醚洗涤,甲醇重结晶,真空干燥得白色晶体26.03 g,产率33.94%,m.p. 192~194℃。Anal. Calcd. for  $C_{18}H_{26}O_2PS_2N$  (%): C 56.32, H 6.78, N 3.65; found(%): C 56.38, H 6.81, N 3.71。

### 1.3 配合物 $[Ag_2(\mu-(4-MeC_6H_4O)_2PS_2)_2(Phen)_2]$ 的合成

室温下称取新制备的AgCl (0.29 g, 2 mmol)和25 mL DMF加入到圆底烧瓶中,搅拌至固体溶解,加入 $(4-MeC_6H_4O)_2PS_2NH_2Et_2$  (0.767 g, 2 mmol),搅拌10 min左右,再加入1,10-邻菲咯啉 (0.396 g, 2 mmol),室温下继续搅拌20 h,过滤,滤液静置2 h后析出适合于X射线分析的无色块状单晶,m.p. 200~201℃。Anal. Calcd. for  $C_{52}H_{44}Ag_2N_4O_4P_2S_4$  (%): C 52.23, H 3.69, N 4.69; found(%): C 52.30, H 3.72, N 4.66。UV-Vis (CH<sub>3</sub>OH, nm),  $\lambda_{max}$ : 230, 260; IR (KBr 压片, cm<sup>-1</sup>),  $\nu$ : 3 040w, 2 920w, 2 850w, 1 600m, 1 503.7s, 1 423.4m, 1 212.5m, 1 194.0s, 1 167.1m, 910s, 886.4s, 845.1m, 819.2m, 730.1m, 698.3m, 683.5m, 670.3m, 633m, 538m。

### 1.4 晶体结构测定

选取0.27 mm×0.25 mm×0.20 mm配合物无色块状晶体,在Rigaku Saturn CCD X-射线衍射仪上使用经过石墨单色器的 $Mo K\alpha$ 射线( $\lambda=0.071 073$  nm)为辐射源,在 $2.34^\circ \leq \theta \leq 26.37^\circ$ 范围内,采用 $\omega$ - $\varphi$ 扫描方式,在113(2) K下,收集35 049个衍射点,其中5 069个为独立衍射点( $R_{int}=0.041 0$ ),用于最小二乘法修正的衍射点为4 368个( $I > 2\sigma(I)$ ),所有衍射强度数据进行了 $L_p$ 因子和经验吸收校正。结构先用直接法由SHELXS-97程序<sup>[14]</sup>解出银原子坐标,其它非氢原子坐标在以后的数轮差值Fourier合成中陆续确定;氢原子为理论加氢。所有非氢原子坐标和各向异性温度因子均用全矩阵最小二乘法由SHELXL-97程序<sup>[15]</sup>精修,精修参数为310个。

配合物的晶体学数据见表1,配合物的主要键长、键角列于表2,分子结构见图1,一维堆积图见图2。

CCDC:787201。

表 1 配合物的晶体数据

Table 1 Crystallographic data of the complex

Empirical formula	$C_{52}H_{44}Ag_2N_4O_4P_2S_4$	$F(000)$	2 416
Formula weight	1 194.83	$\theta$ range for data collection / ( $^\circ$ )	2.34~26.37
Crystal system	Orthorhombic	Limiting indices	$-15 \leq h \leq 13, -19 \leq k \leq 20, -22 \leq l \leq 31$
Space system	$Pbca$	Reflections collected / unique	35 049 / 5 069
Temperature / K	113(2)	$R_{int}$	0.041 0
$a$ / nm	1.203 5(2)	Completeness to $\theta=26.37^\circ$ / %	99.9
$b$ / nm	1.638 3(3)	Data / restraints / parameters	5 069 / 0 / 310
$c$ / nm	2.517 1(5)	Goodness-of-fit on $F^2$	1.066
$V$ / nm <sup>3</sup>	4.963 1(17)	Final $R$ indices ( $I > 2\sigma(I)$ )	0.037 6, 0.088 8
$Z$	4	$R$ indices (all data)	0.045 9, 0.093 7
$D_c$ / (g·nm <sup>-3</sup> )	1.599	Largest diff. peak and hole / (e <sup>-</sup> ·nm <sup>-3</sup> )	435, -766
$\mu$ (Mo $K\alpha$ ) / nm <sup>-1</sup>	1.072	$w=1/[\sigma^2(F_o^2)+(aP)^2+bP]$	$a=0.049 4, b=1.369 8, P=(F_o^2+2F_c^2)/3$

表 2 配合物的主要键长和键角

Table 2 Selected bond lengths (nm) and bond angle ( $^\circ$ ) of the complex

Ag1-N1	0.247 4(2)	S2-P1 <sup>i</sup>	0.196 58(10)	O2-C1	0.140 0(3)
Ag1-N2	0.232 5(2)	P1-O1	0.159 97(18)	N1-C15	0.132 4(4)
Ag1-S1	0.254 52(9)	P1-O2	0.161 68(18)	N1-C26	0.135 5(3)
Ag1-S2	0.250 73(8)	P1-S2 <sup>i</sup>	0.196 58(10)	N2-C24	0.132 6(4)
S1-P1	0.196 69(10)	O1-C8	0.139 4(3)	N2-C25	0.135 2(3)
N2-Ag1-N1	70.02(7)	O1-P1-O2	97.75(10)	C1-O2-P1	122.66(14)
N2-Ag1-S2	132.54(6)	O1-P1-S2 <sup>i</sup>	103.25(7)	C15-N1-C26	118.2(2)
N2-Ag1-S1	116.19(6)	O2-P1-S2 <sup>i</sup>	111.15(8)	C15-N1-Ag1	128.45(19)
N1-Ag1-S2	99.69(5)	O1-P1-S1	114.26(8)	C26-N1-Ag1	113.34(17)
N1-Ag1-S1	111.39(6)	O2-P1-S1	108.33(7)	C24-N2-C25	118.6(2)
S2-Ag1-S1	110.72(3)	S2 <sup>i</sup> -P1-S1	119.87(4)	C24-N2-Ag1	122.85(19)
P1-S1-Ag1	100.79(4)	C8-O1-P1	128.11(16)	C25-N2-Ag1	118.49(17)
P1 <sup>i</sup> -S2-Ag1	104.81(3)				

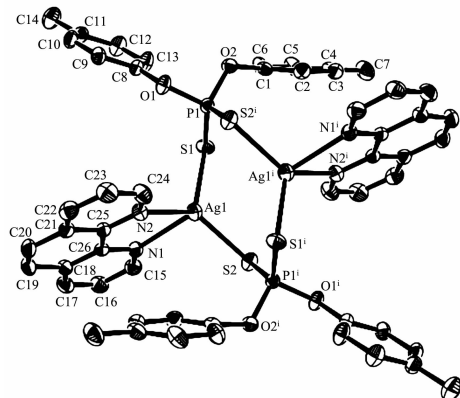
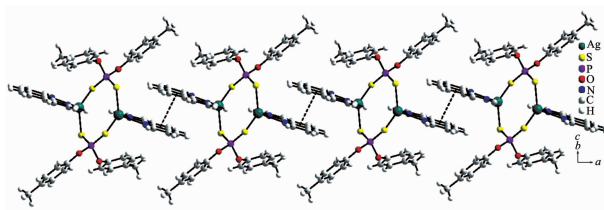
Symmetry codes: <sup>i</sup> 1-x, 1-y, 1-z.Symmetry code: <sup>i</sup> 1-x, 1-y, 1-z; hydrogen atoms are omitted for clarity, displacement ellipsoids are drawn at the 30% probability level

图 1 配合物分子结构的Ortep 椭圆图

Fig.1 Ortep diagram of molecular structure of the complex

Symmetry code: <sup>ii</sup> x, y+1, z+1图 2 配合物基于  $\pi$ - $\pi$  堆积的一维堆积链结构Fig.2 One-dimension stack chain of the complex based on  $\pi$ - $\pi$  packing

## 2 结果与讨论

### 2.1 晶体的描述

配合物 $[Ag_2(\mu-(4-MeC_6H_4O)_2PS_2)_2(Phen)_2]$ 的结构基元中含有2个Ag原子、2个phen和2个 $(4-MeC_6H_4O)_2PS_2$ 配体,形成了具有中心对称的双核配合物。每个Ag原子与不同的配体 $(4-MeOC_6H_4)_2PS_2^-$ 的2个S原子和1个phen的2个N原子配位形成了 $AgS_2N_2$ 的畸变四面体结构,与配合物 $\{Ag[S_2P(OPr-n)]\cdot Phen\}_2^{[13]}$ 和 $\{Cu[\mu-S_2P(OEt)_2]\cdot phen_2\}_2^{[9]}$ 的结构相似,四面体顶点的原子与Ag原子之间的平均键角为 $105.92^\circ$ ,其中最小的键角是 $N1-Ag-N2$  ( $70.02(7)^\circ$ ),最大键角 $N2-Ag-S2$ 为 $132.54(6)^\circ$ ,偏离四面体型配合物正常键角较大,这显然是Ag与配体1,10-邻菲咯啉所形成的螯合环所致。而 $S1-Ag-S2$ 的键角为 $110.72(3)^\circ$ ,小于 $\{Cu[\mu-S_2P(OEt)_2]\cdot phen_2\}_2$ 的 $S-Cu-S$  ( $114.20^\circ$ ),而大于 $\{Ag[S_2P(OPr-n)]\cdot Phen\}_2$ 的 $S-Ag-S$  ( $106.20^\circ$ )。每个 $(4-MeOC_6H_4)_2PS_2^-$ 桥联2个Ag原子形成了椅式构型八元环 $Ag_2S_4P_2$ ,而配体phen与Ag原子配位形成五元螯合环。配合物的 $N1-Ag$ 和 $N2-Ag$ 键的键长( $0.2474(2)$ 和 $0.2325(2)$  nm)与 $\{Ag[S_2P(OPr-n)]\cdot Phen\}_2^{[13]}$ 的 $N-Ag$ 键( $0.2471(3)$ 和 $0.2366(3)$  nm)相当,但 $S1-Ag$ 和 $S2-Ag$ 键的键长( $0.25452(9)$ 和 $0.25073(8)$  nm)稍短于 $\{Ag[S_2P(OPr-n)]\cdot Phen\}_2$ 的 $S-Ag$ 键( $0.2567(1)$ 和 $0.2559(1)$  nm),这可能是由于苯环上甲基的供电作用增加了 $(4-MeOC_6H_4)_2PS_2^-$ 的配位能力。2个Ag原子之间的距离为 $0.3502(3)$  nm,超过了它们的范德华半径之和,所以2个Ag原子之间没有相互作用。

配合物的整个八元环 $Ag_2S_4P_2$ 由3个平面构成,其中两分子 $(4-MeOC_6H_4)_2PS_2^-$ 中的2个P原子和4个S原子形成1个平面(原子最大偏差为 $0.0009$  nm),Ag原子与2个配位的S原子形成1个平面,2个 $S-Ag-S$ 平面完全平行,而与P、S原子所在平面形成了 $67.30^\circ$ 的二面角。 $Ag1$ 、 $S1$ 、 $Ag1^i$ 和 $S1^i$ 形成1个绝对平面,同时 $Ag1$ 、 $S2$ 、 $Ag1^i$ 和 $S2^i$ 也形成另1个绝对平面,两平面间夹角为 $63.55^\circ$ 。配体phen与Ag形成的五元螯合环基本共平面(原子最大偏差为 $0.0031$  nm)。

配合物中的phen配体的环 $N1-C15-C16-C17-C18-C26$ 与相邻分子的phen配体的环 $N1^i-C15^i-C16^i-C17^i-C18^i-C26^i$ (对称码: $^i x, y+1, z+1$ )形成了面对面的 $\pi-\pi$ 堆积,质芯距离 $0.3569$  nm,二面角 $0.00^\circ$ ,滑移距离 $0.1005$  nm(见图2),进而沿 $a$ 轴方向形成了一维链堆积结构。配合物中邻近的phen

的质芯距离小于配合物 $[Co(p-ClC_6H_4CO_2)_2(phen)(H_2O)_2]^{[17]}$ 和 $[Cu(p-MBA)_2(phen)]^{[18]}$ 的质芯距离( $0.3684$ ,  $0.3643$  nm)。配合物分子间存在弱的非经典的氢键 $C22-H22\cdots O2^{iii}$ (对称码: $^{iii} -1/2+x, 1/2-y, 1-z$ 。 $d(H22\cdots O2^{iii})$ 为 $0.2579$  nm, $d(C22\cdots O2^{iii})$ 为 $0.3409$  nm, $(C22-H22\cdots O2^{iii})$ 为 $146.16^\circ$ ),与配合物 $[Cu(p-MBA)_2(phen)]^{[18]}$ 的 $C-H\cdots O$ 氢键的强度相当( $0.3259(3)\sim 0.3416(3)$  nm)。同时配合物分子间还存在弱的 $C-H\cdots\pi$ 堆积作用,即 $C12-H12\cdots Cg^{iv}$ ( $C1^{iv}-C2^{iv}-C3^{iv}-C4^{iv}-C5^{iv}-C6^{iv}$ )(对称码: $^{iv} -1/2+x, y, 3/2-z$ 。 $d(H12\cdots Cg^{iv})$ 为 $0.2635$  nm, $d(C12\cdots Cg^{iv})$ 为 $0.3542$  nm, $(C12-H12\cdots Cg^{iv})$ 为 $162.27^\circ$ )<sup>[19]</sup>。通过氢键和 $C-H\cdots\pi$ 作用,配合物进一步构筑成了三维网状结构。因此 $\pi-\pi$ 堆积作用、 $C22-H22\cdots O2^{iii}$ 氢键和 $C12-H12\cdots Cg^{iv}$ 堆积作用的形成增加了配合物的稳定性。

### 2.2 红外光谱

配合物 $[Ag_2(\mu-(4-MeC_6H_4O)_2PS_2)_2(Phen)_2]$ 在 $698.5$ 、 $683.5$ 和 $670.3$   $cm^{-1}$ 吸收带归属为 $PS_2$ 的不对称振动,在 $538$ 和 $633$   $cm^{-1}$ 的吸收带为 $PS_2$ 的对称伸缩振动; $(P)-O-C$ 和 $P-O-(C)$ 的伸缩振动吸收带分别在 $1213\sim 1165$ 和 $1021\sim 880$   $cm^{-1}$ 范围内<sup>[20]</sup>。饱和 $C-H$ 的不对称伸缩振动在 $2920$   $cm^{-1}$ ,其对称伸缩峰在 $2850$   $cm^{-1}$ ;不饱和 $C-H$ 的振动吸收峰波数为 $3040$   $cm^{-1}$ ,芳环骨架振动峰为 $1600.1$ 、 $1503.7$   $cm^{-1}$ 。自由phen的芳环振动吸收峰在 $1588$   $cm^{-1}$ , $C-H$ 面外弯曲振动峰在 $852$ 和 $739$   $cm^{-1}$ ;当形成配合物后,在 $1503.7$ 、 $819.2$ 和 $730.1$   $cm^{-1}$ 的中强峰为配体phen的 $C=N$ 伸缩振动峰和 $C-H$ 键的面外弯曲振动峰,它们均发生了红移,说明phen与Ag形成了配位键<sup>[21]</sup>。

### 2.3 紫外-可见光谱

在 $200\sim 900$  nm范围内测定了原料和配合物的紫外-可见光谱图(见图3)。原料phen在 $230$ 和 $263$  nm出现了芳环的 $\pi\rightarrow\pi^*$ 跃迁的强吸收峰;原料 $(4-MeC_6H_4O)_2PS_2NH_2Et_2$ 在 $212$  nm的强吸收峰为苯环的 $\pi\rightarrow\pi^*$ 跃迁,在 $268$  nm的弱吸收峰为 $P=S$ 的 $n\rightarrow\pi^*$ 跃迁。配合物在可见光区无任何吸收,在 $230$  nm的强吸收峰为配体phen芳环的 $\pi\rightarrow\pi^*$ 跃迁,由于金属离子的加入对紫外-可见吸收光谱的影响并不大,所以该峰并没有发生移动<sup>[22]</sup>;在 $260$  nm处的强吸收峰是phen芳环的 $\pi\rightarrow\pi^*$ 跃迁,较自由phen的相应吸收峰发生了一定紫移,这是由于phen上的N与 $Ag^+$ 配位后,电子云向 $Ag^+$ 移动,使phen环上的共轭性减小,所以吸收峰发生了紫移<sup>[23]</sup>;另外配合物在 $212$  nm的肩峰应为配体 $(4-MeC_6H_4O)_2PS_2^-$ 的苯环的 $\pi\rightarrow\pi^*$ 跃迁。

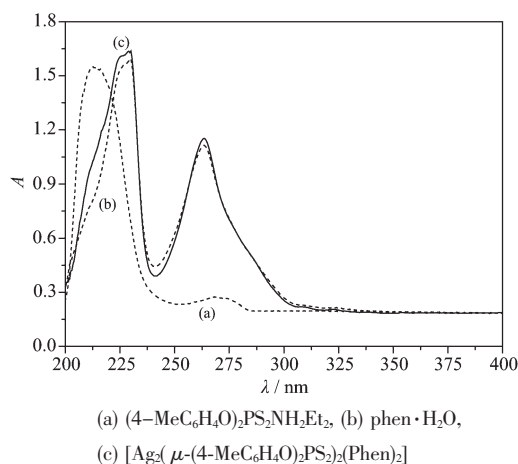


图3 配合物及原料的紫外-可见光谱

Fig.3 Ultraviolet-visible spectroscopy of the complex and raw material

## 2.4 热重分析

配合物的热重分析结果见图4。在199.2℃处的吸热峰对应于配合物的熔点,在TG曲线上无明显失重,说明配合物在熔融时稳定。在315.7℃开始失重,在340.4℃时出现1个宽吸热峰。随着第二个吸热峰的出现,失重速率明显减慢,整个过程出现一次性失重,在315.7到350.3℃的范围内失重率为68.17%,恰好与配合物所含的两分子phen、两分子的 $4\text{-MeC}_6\text{H}_4\text{O}$ 及一分子 $(4\text{-MeC}_6\text{H}_4\text{O})_2\text{P}$ 的质量相符(理论失重89.91%),说明配合物的N-Ag键比较弱。最后剩余物为 $\text{Ag}_2\text{PS}_4$ (理论值为31.38%,测定值为30.57%)。

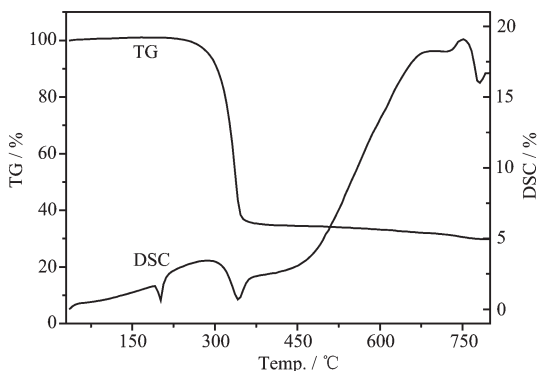


图4 配合物的TG-DSC曲线

Fig.4 TG-DSC curves of the complex

## 参考文献:

- [1] Daniela R, Kevin J P, Ingmar P, et al. *Polyhedron*, **2006**,**25** (18):3569-3580
- [2] Huq M Z, Aswath P B, Elsenbaumer R L. *Tribology International*, **2007**,**40**(1):111-116
- [3] Liu C W, Irwin M D, Mohamed A A, et al. *Inorg. Chim. Acta*, **2004**,**357**(13):3950-3956
- [4] Mosey N J, Woo T K. *Tribology International*, **2006**,**39**(9): 979-993
- [5] Drew M G B, Forsyth G A, Hasan M, et al. *J. Chem. Soc., Dalton Trans.*, **1987**(5):1027-1033
- [6] Visalakshi R, Jain V K. *Transition Met. Chem.*, **1990**,**15**(4): 278-282
- [7] Rossi A, Eglin M, Piras F M, et al. *Wear*, **2004**,**256**(6):578-584
- [8] Larsson A C, Ivanov A V, Antzutkin O N, et al. *Inorg. Chim. Acta*, **2004**,**357**(9):2510-2518
- [9] XIE Bin(谢斌), WU Shi-Ye(吴士业). *Chem. J. Chinese Universities(Gaodeng Xuexiao Huaxue Xuebao)*, **1998**,**19**(1):74-77
- [10] XIE Bin(谢斌), LI Ke-Bin(李可彬), ZOU Li-Ke(邹立科), et al. *Chines J. Struct. Chem.(Jiegou Huaxue)*, **2004**,**23**(3): 324-331
- [11] Matsumoto K, Tanaka R, Shimomura R, et al. *Inorg. Chim. Acta*, **2000**,**304**:293-296
- [12] Zhu Y B, Lu S F, Huang X Y, et al. *Chinese J. Chem.*, **2004**, **22**(7):673-677
- [13] Jian F F, Xiao H L, Wang H X, et al. *J. Korean Chem. Soc.*, **2003**,**47**(1):26-30
- [14] Sheldrick G M. *SHELXS-97, Program for the Solution of Crystal Structures*, University of Göttingen, Germany, **1997**.
- [15] Sheldrick G M. *SHELXL-97, Program for the Refinement of Crystal Structures*, University of Göttingen, Germany, **1997**.
- [16] ZHANG Wen-Li(张文莉), SHEN Xiao-Ping(沈小平), HE Min-Qiang(贺敏强), et al. *Chinese J. Inorg. Chem.(Wuji Huaxue Xuebao)*, **2001**,**17**(2):285-287
- [17] JIN Jing(金晶), LIU Jia-Zhao(刘佳操), ZHAO Li-Ming(赵力民), et al. *J. Liaoning Normal University: Natural Sci. Ed. (Liaoning Shifan Daxue Xuebao: Ziran Kexue Ban)*, **2008**, **31**(4):478-481
- [18] SHI Zhi-Qiang(石智强), JI Ning-Ning(季宁宁), ZHAO Xue(赵雪), et al. *Chinese J. Inorg. Chem.(Wuji Huaxue Xuebao)*, **2010**,**26**(2):251-256
- [19] Hunter R H, Haueisen R H, Irving A. *Angew. Chem., Int. Ed. Engl.*, **1994**,**33**(5):566-568
- [20] XIE Bin(谢斌), ZOU Li-Ke(邹立科), MAO Zhi-Hua(毛治华), et al. *Chem. Res. Appl.(Huaxue Yanjiu Yu Yingyong)*, **2006**,**18**(2):178-181
- [21] LIN Miao(林苗), YANG Yong(杨勇), XIAN Chun-Yan(咸春燕). *Chinese J. Inorg. Chem.(Wuji Huaxue Xuebao)*, **2010**, **26**(1):120-125
- [22] WANG Ze-Min(王则民), HE Qi-Zhuang(何其庄), YU Ying-Hao(俞膺浩), et al. *J. Shanghai Normal University: Natural Sci. Ed. (Shanghai Shifan Daxue Xuebao: Ziran Kexue Ban)*, **2000**,**29**(1):70-74
- [23] WANG Min(王敏), XU Zhi-Dong(徐志栋), FENG Dian-Zhong(冯殿忠). *Chinese Rare Earths(Xitu)*, **1998**,**19**(4):1-4